

1/23

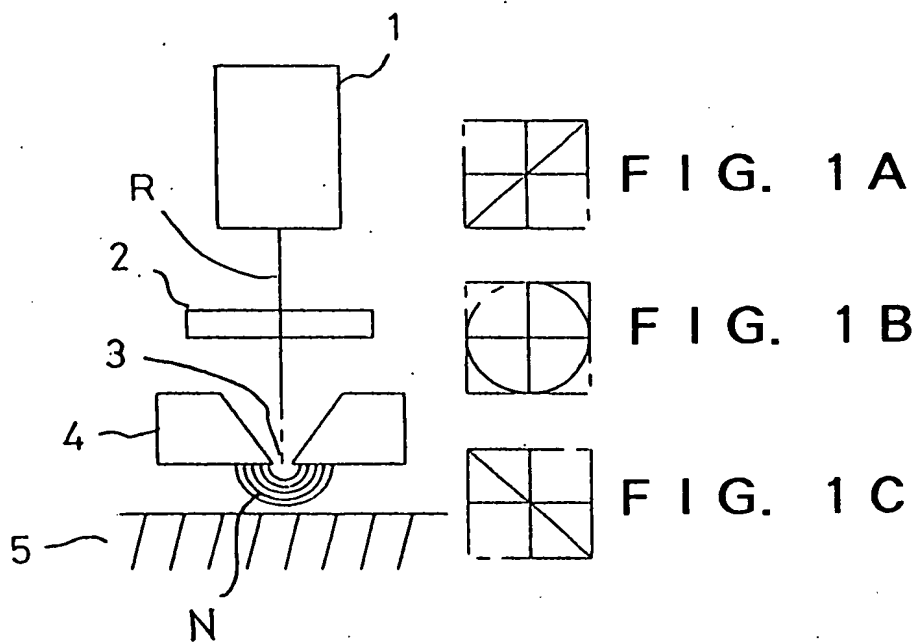


FIG. 2

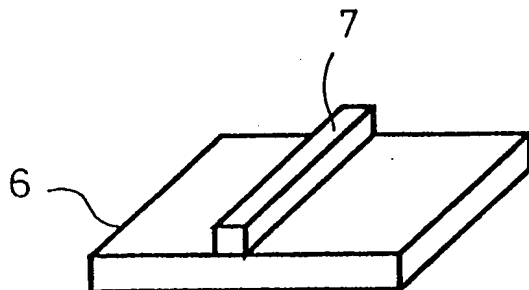


FIG. 3A

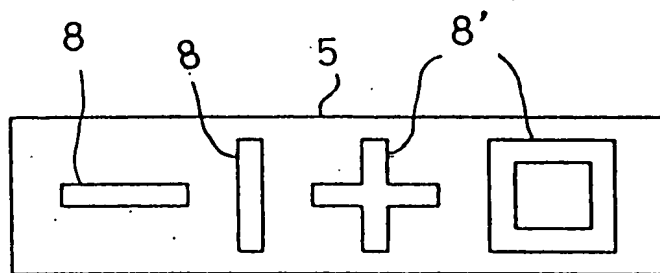


FIG. 3B

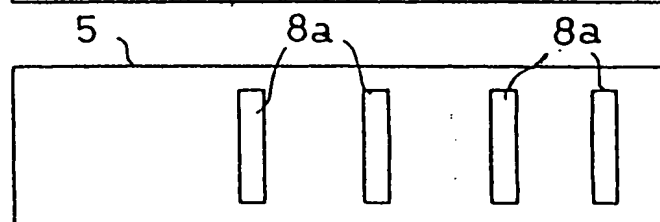
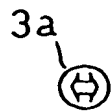


FIG. 3C

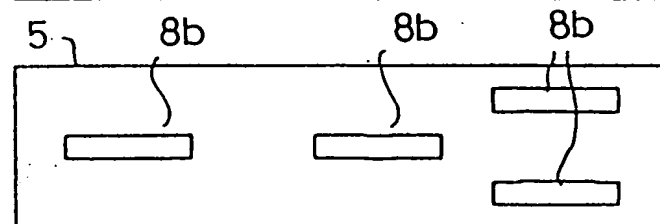
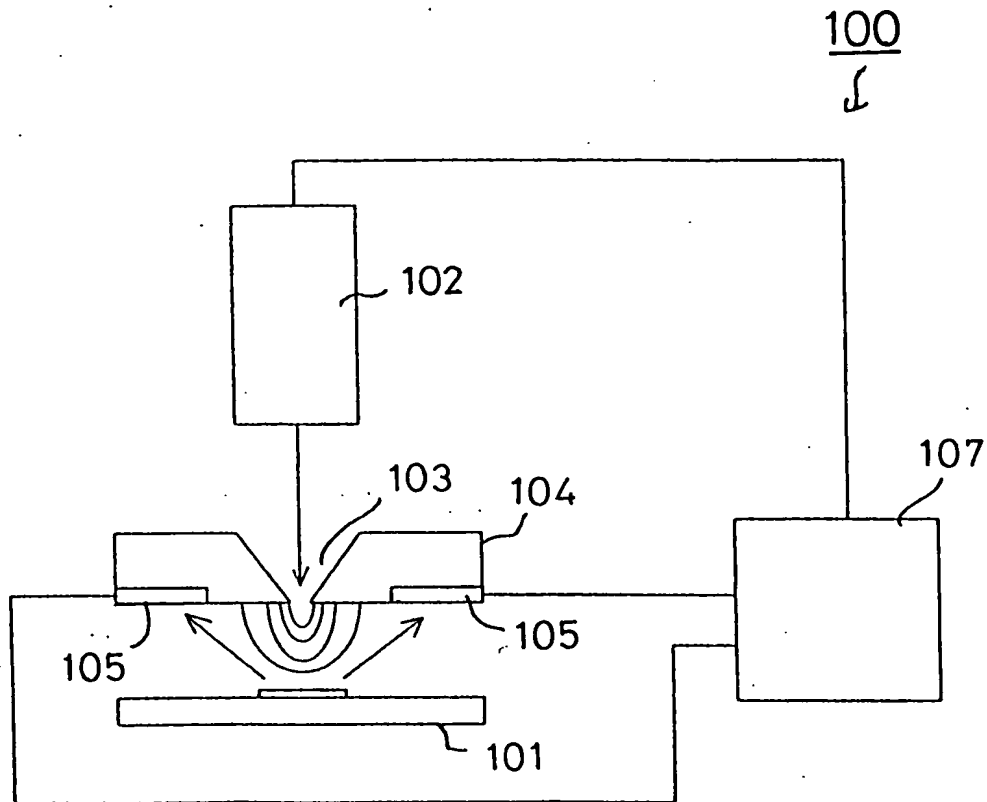


FIG. 4



4/23

FIG. 5

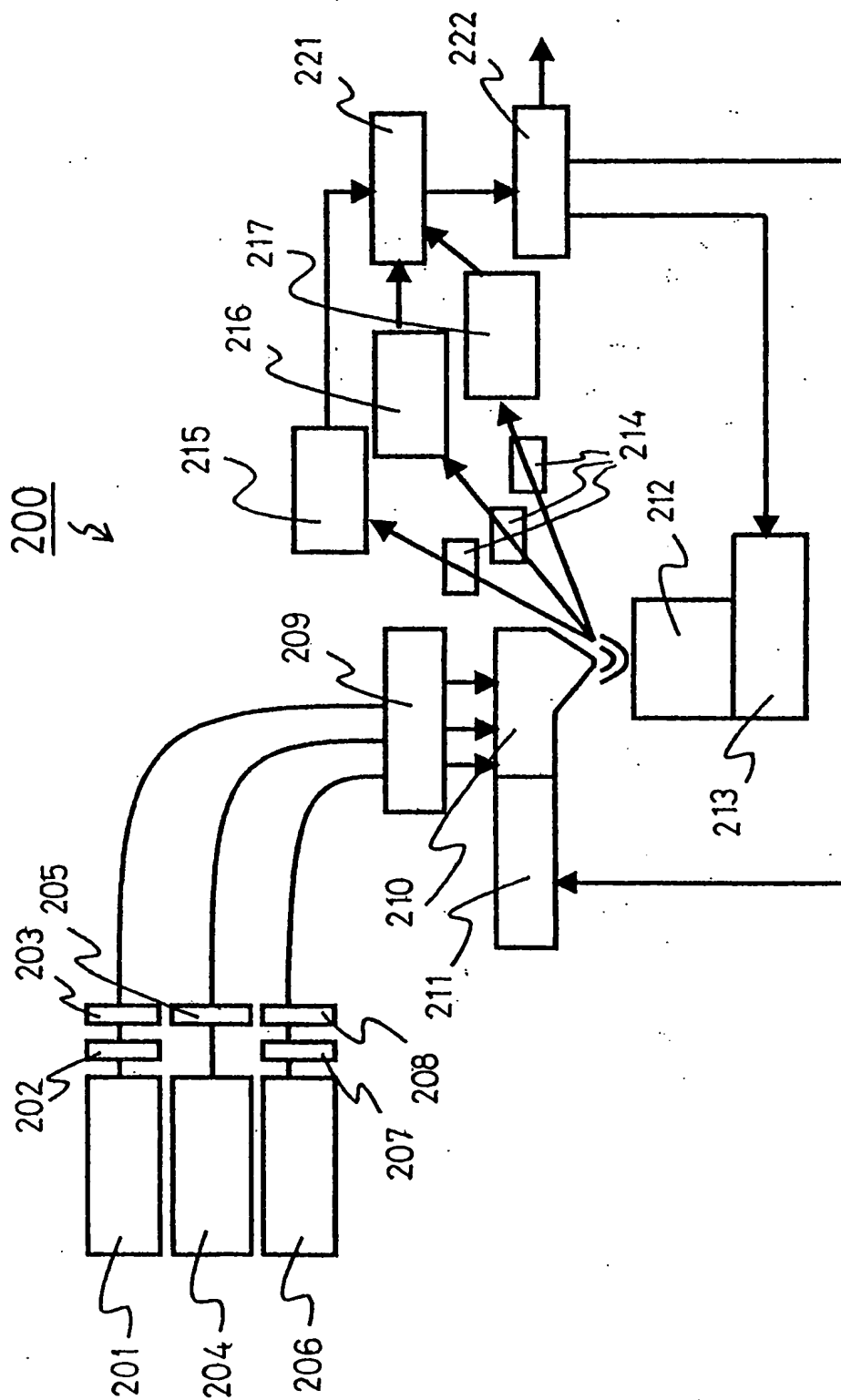


FIG. 6

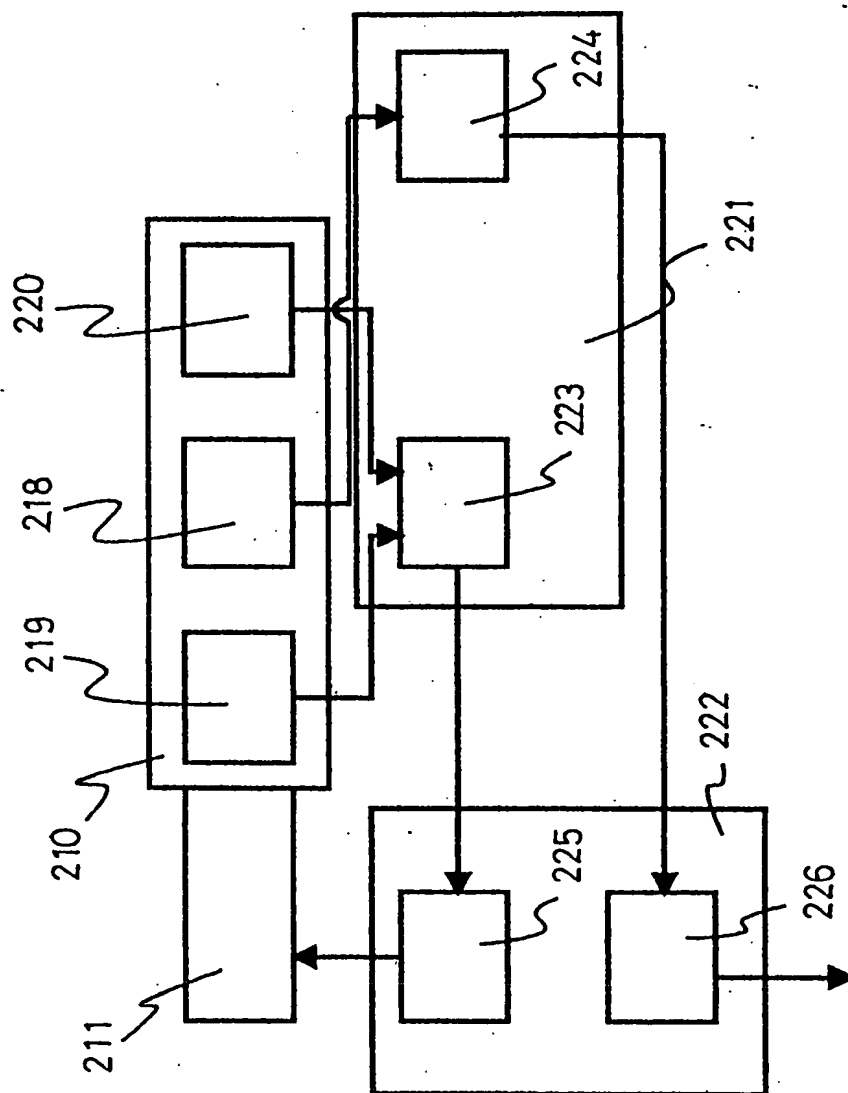


FIG. 7

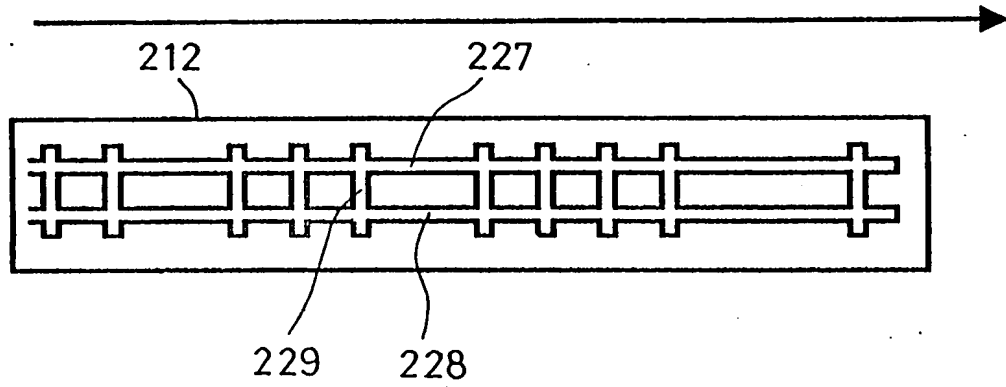
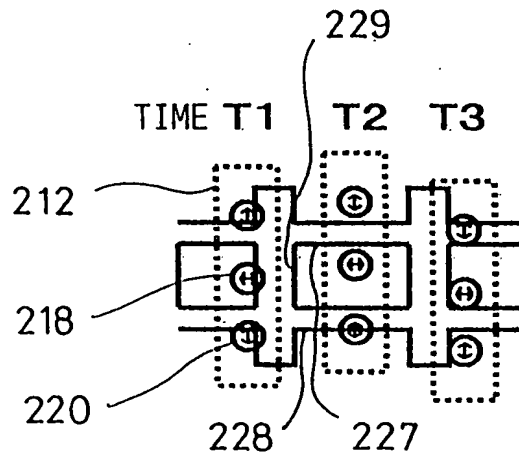


FIG. 8



7/23

FIG. 9 A

FIG. 9 B

FIG. 9 C

OUTPUT INTENSITY

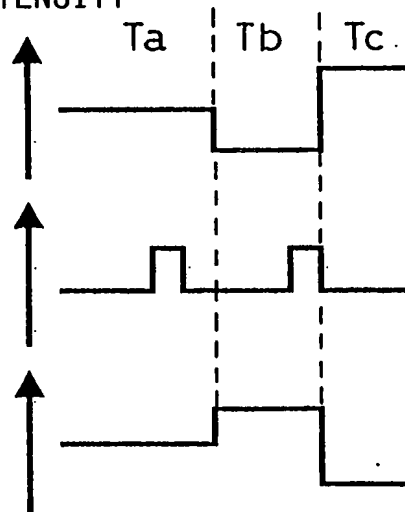


FIG. 10

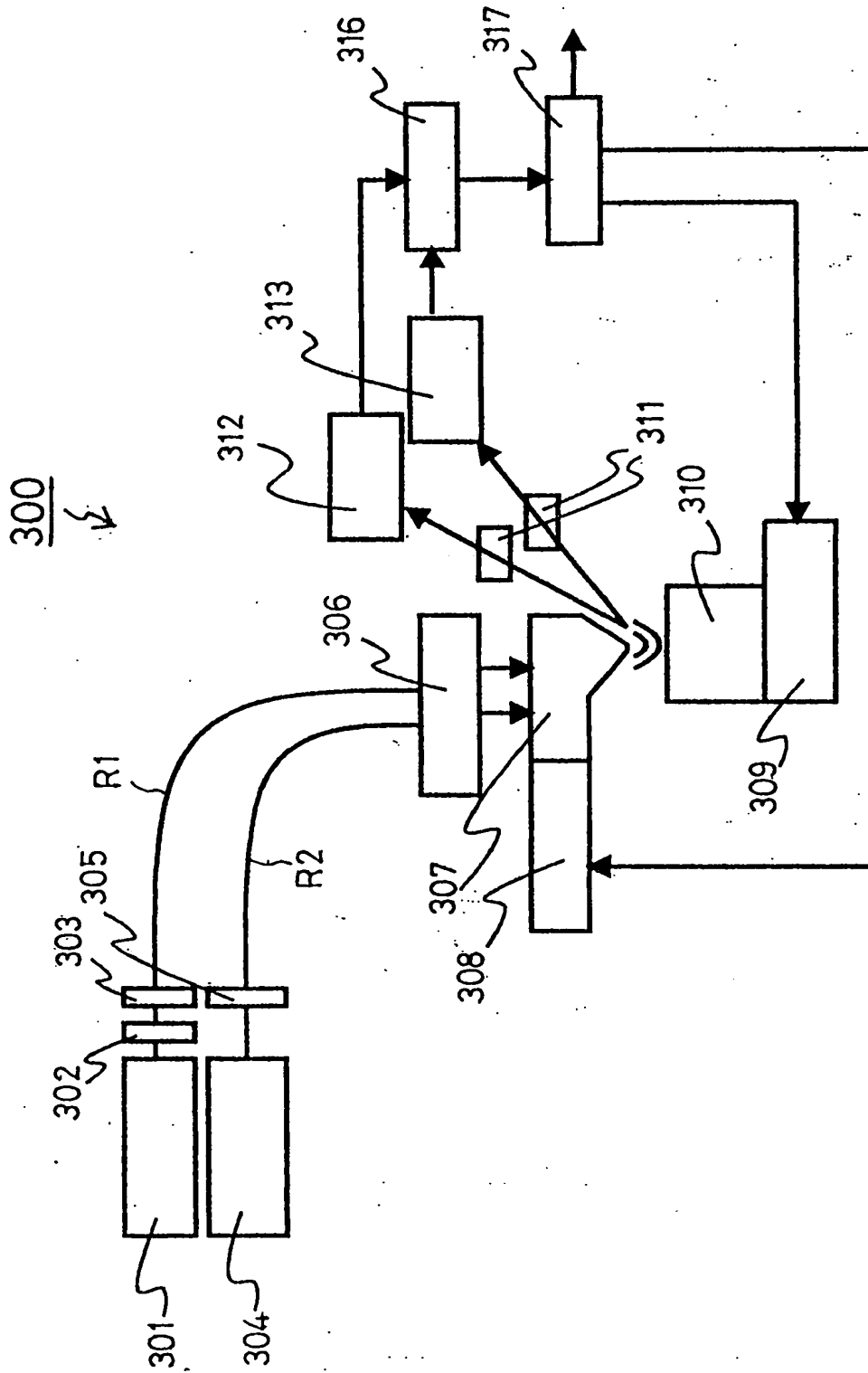
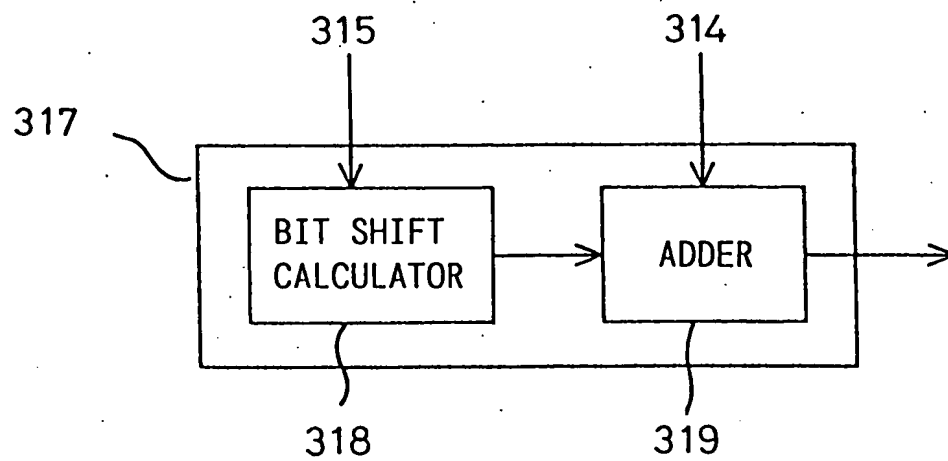


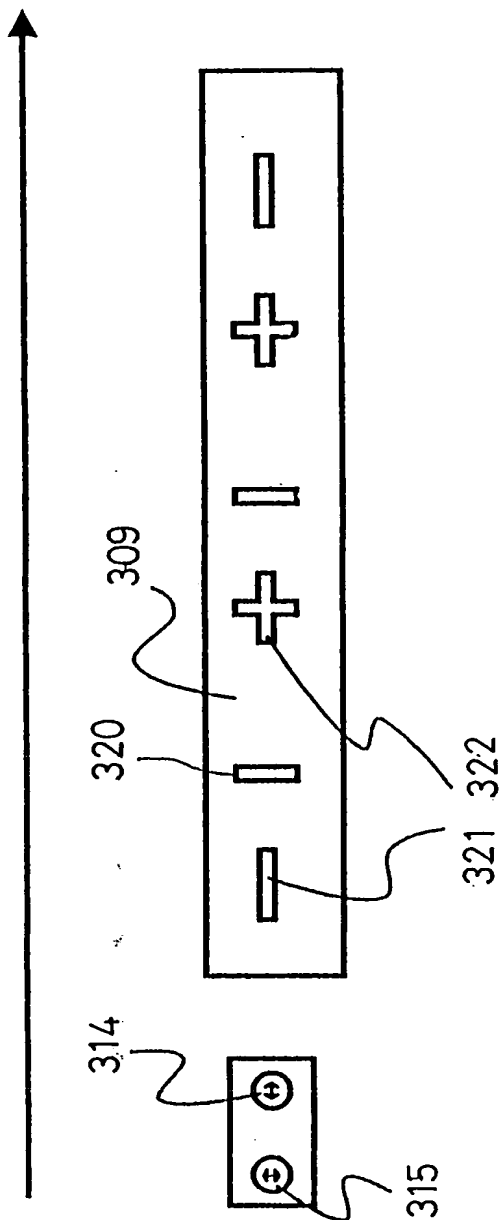


FIG. 11



10/23

FIG. 12



11/23

OUTPUT INTENSITY

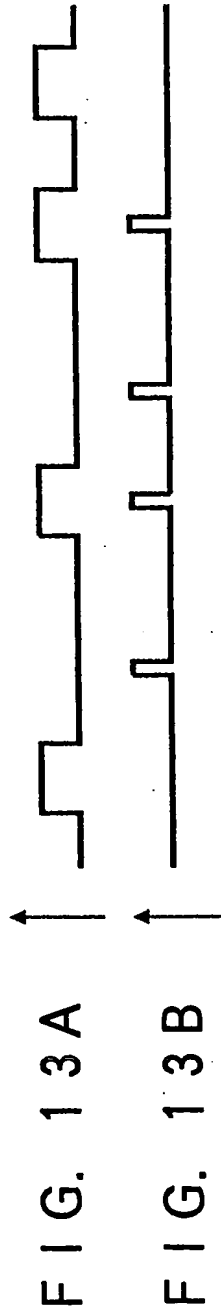


FIG. 13A

FIG. 13B

04/581602

12/23

FIG. 14

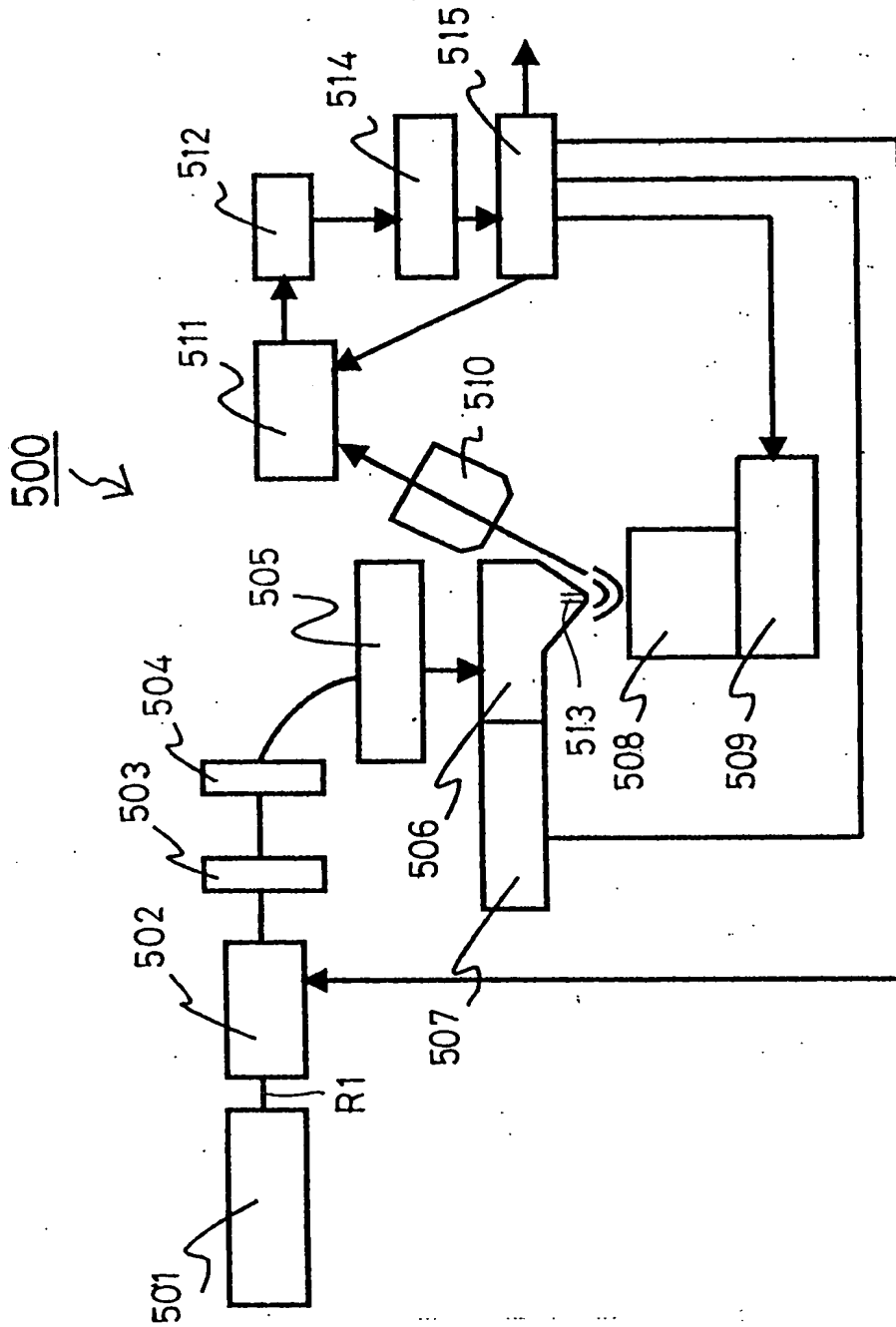
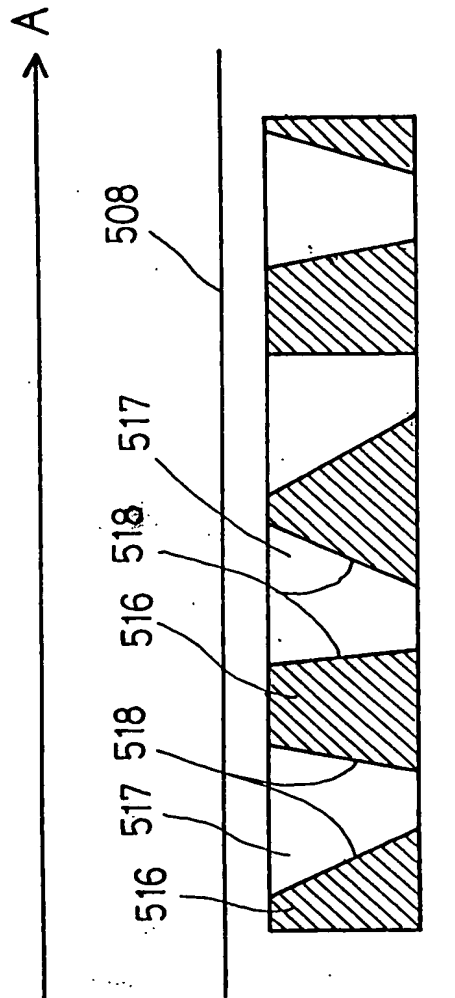


FIG. 15



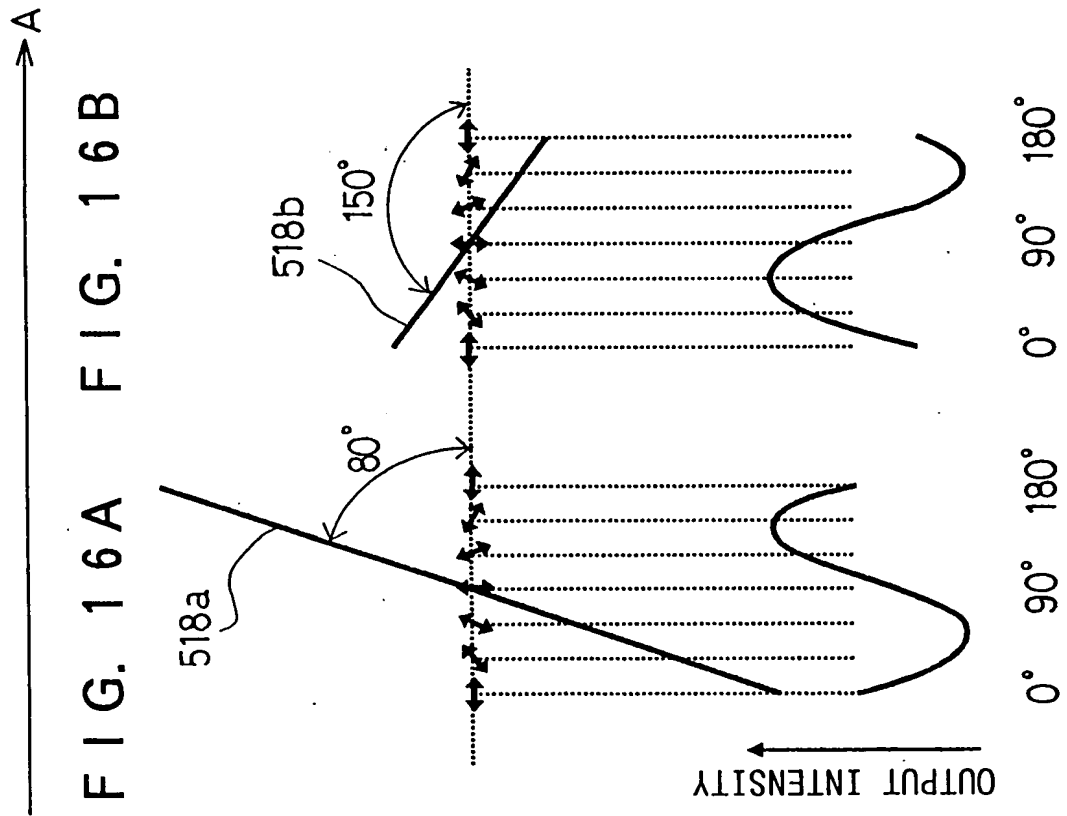


FIG. 17

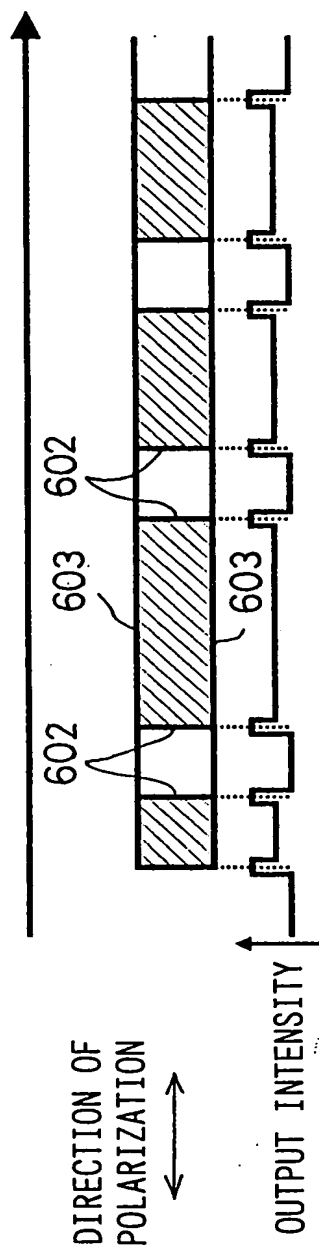


FIG. 18A FIG. 18C FIG. 18B

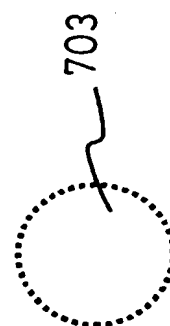
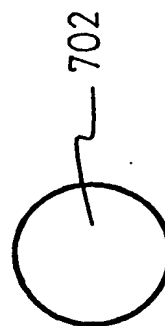
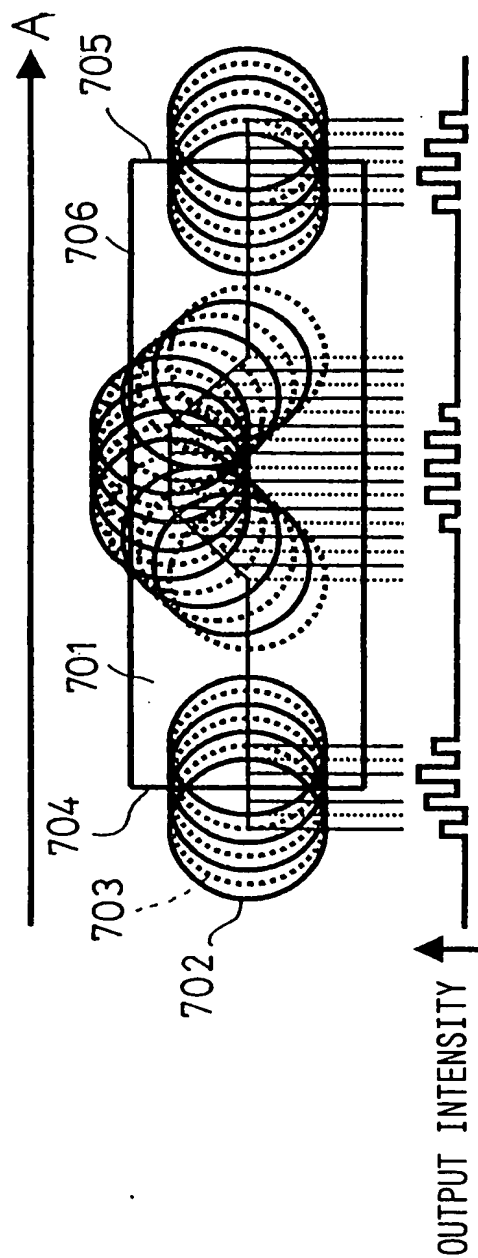




FIG. 19

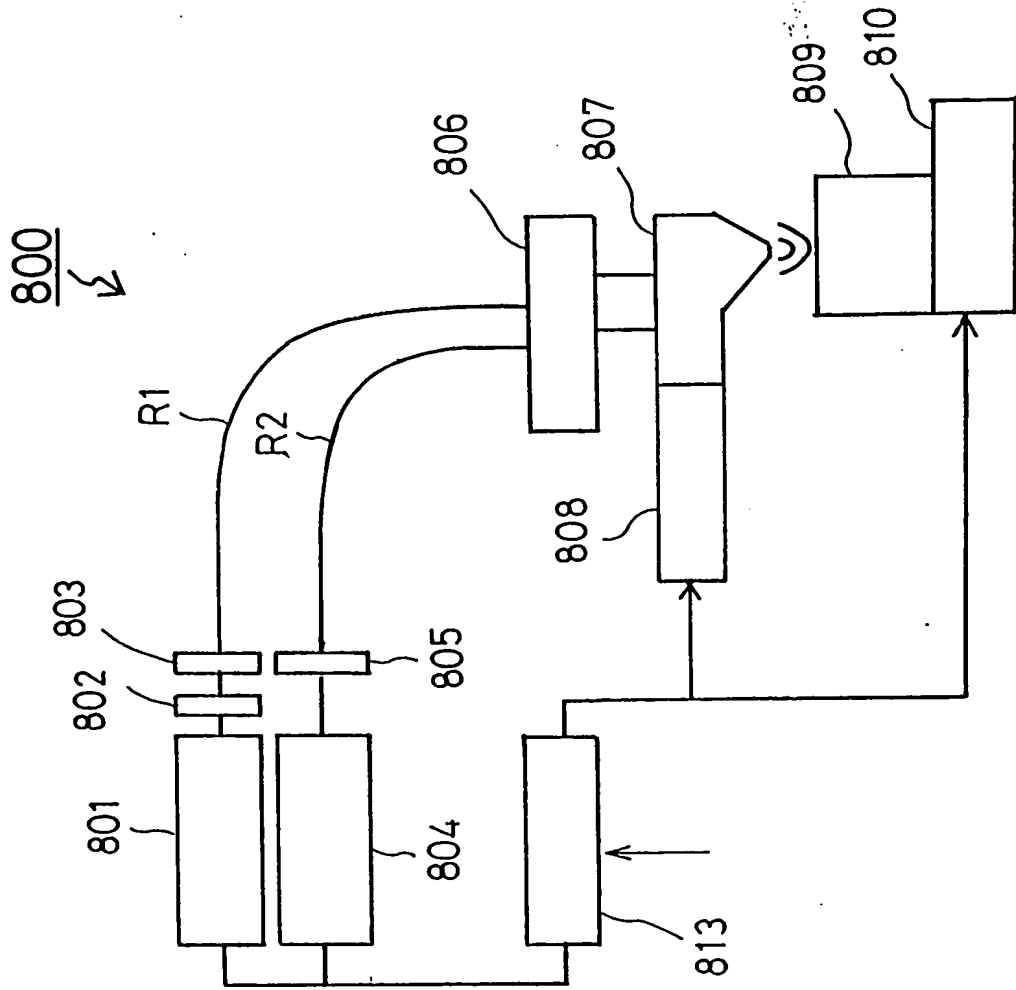


FIG. 20A

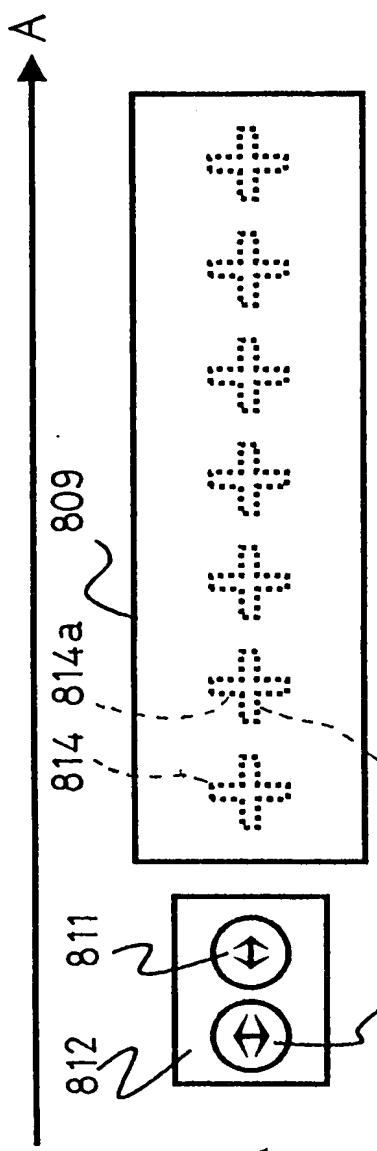


FIG. 20A

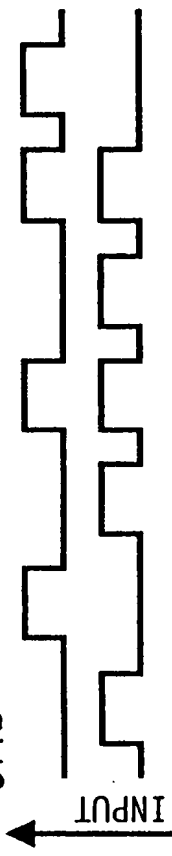
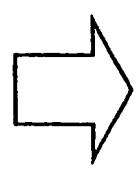


FIG. 20B-1

FIG. 20B-2



809

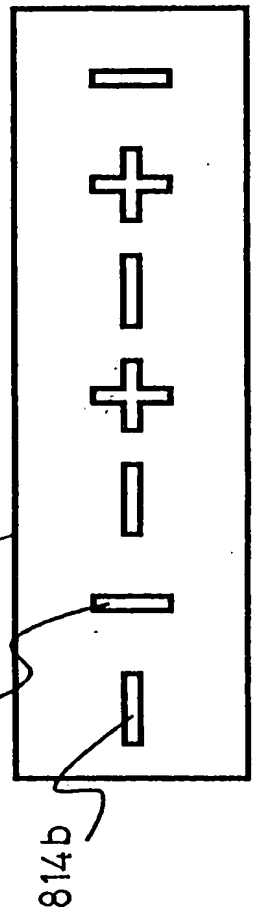


FIG. 20C

FIG. 21

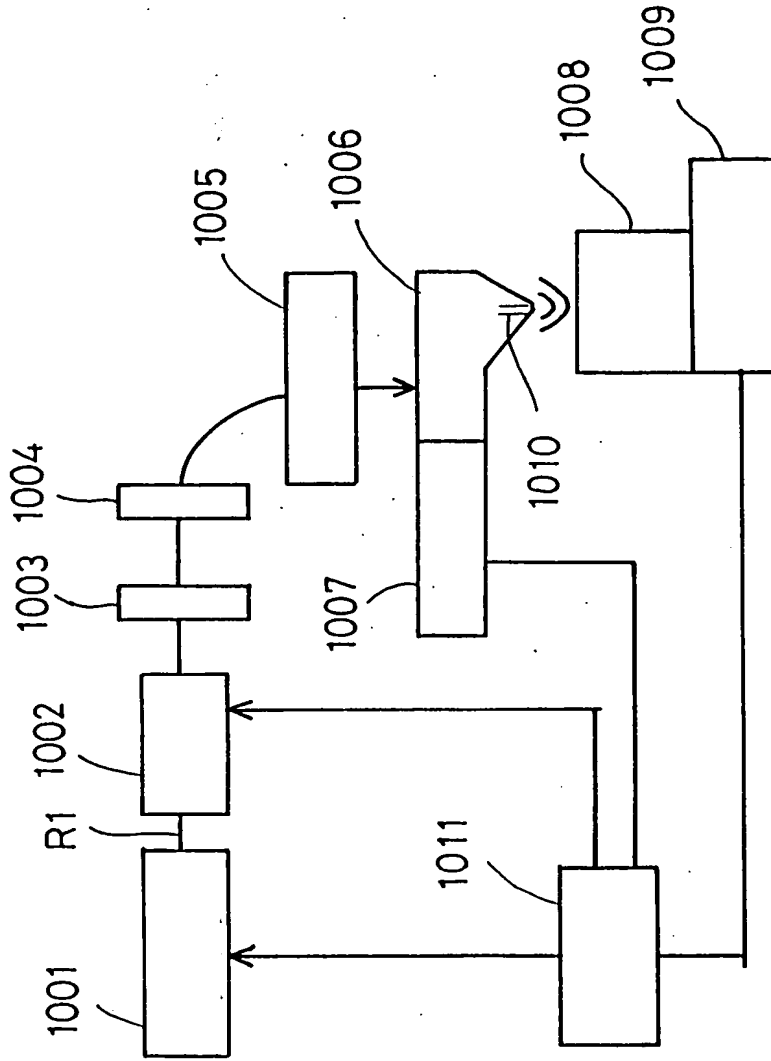


FIG. 22

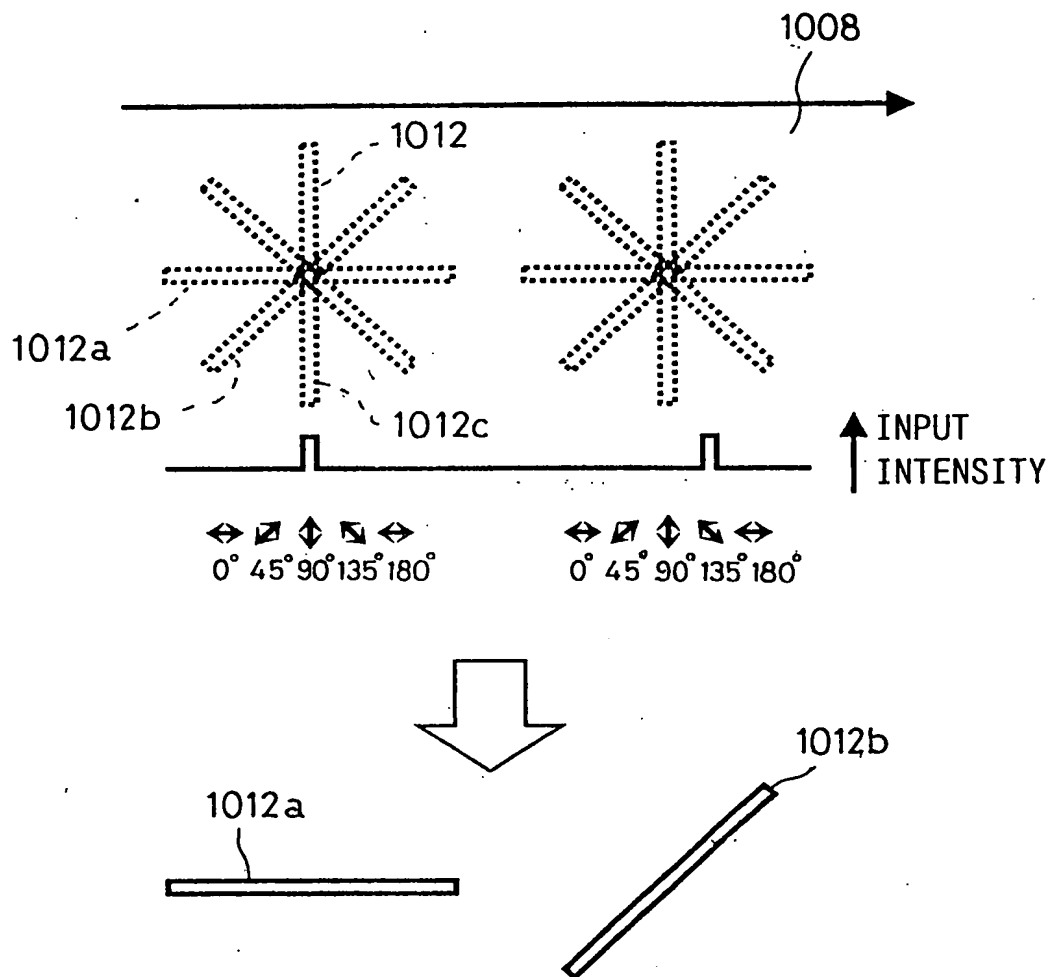
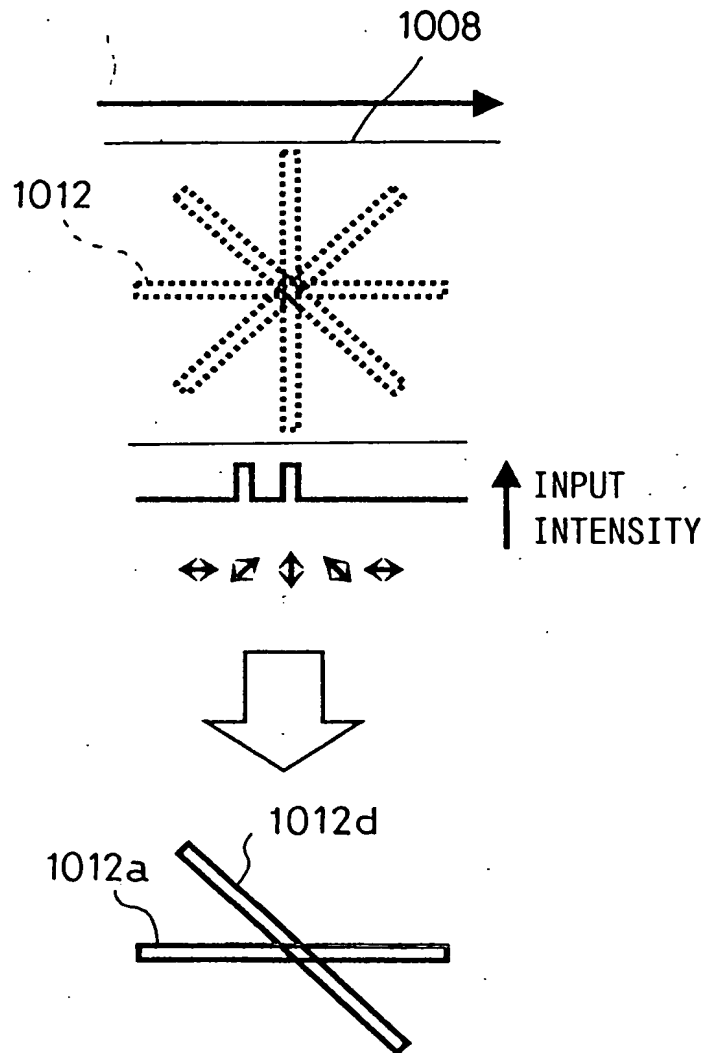


FIG. 23



09/581602, 09/581602



FIG 24A FIG 24B FIG 24C FIG 24D

1201

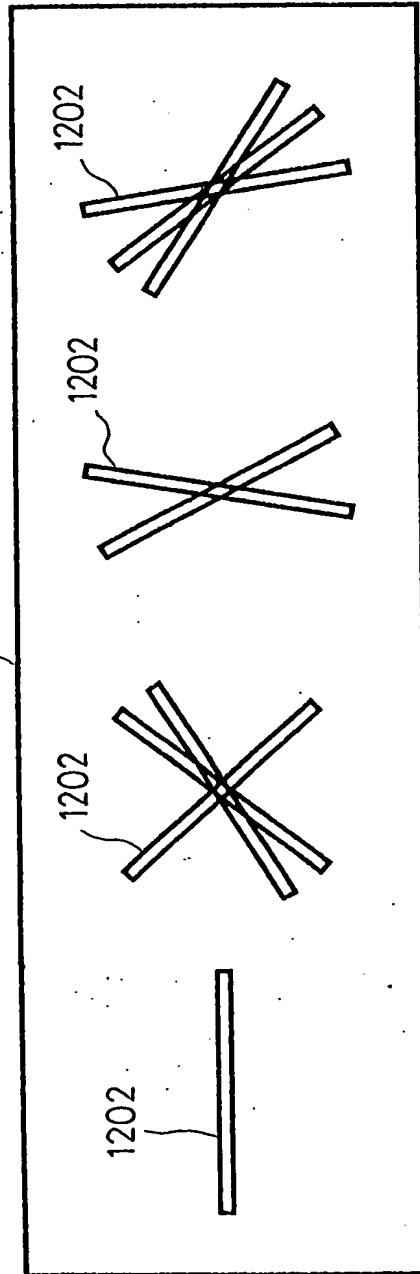


FIG 25A FIG 25B FIG 25C FIG 25D

